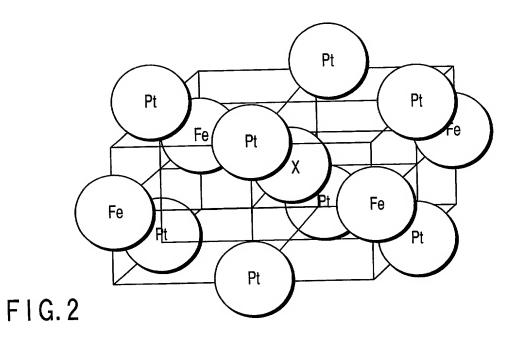
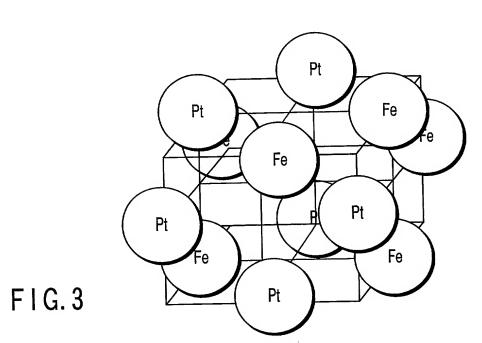
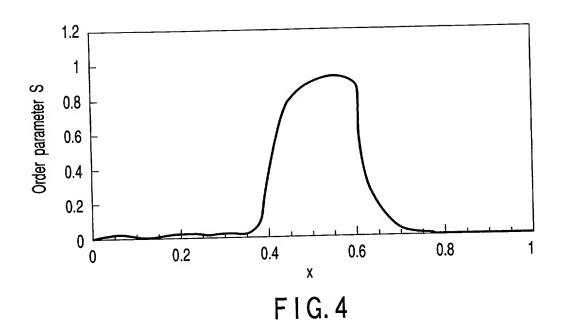
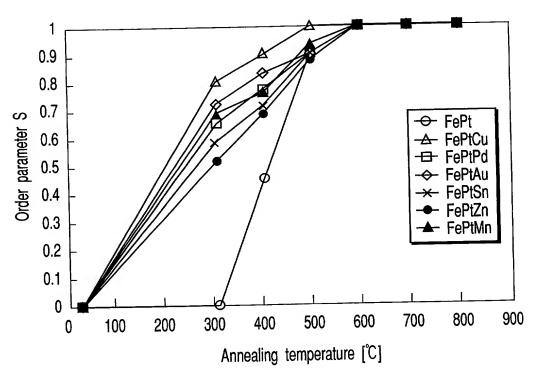


FIG.1

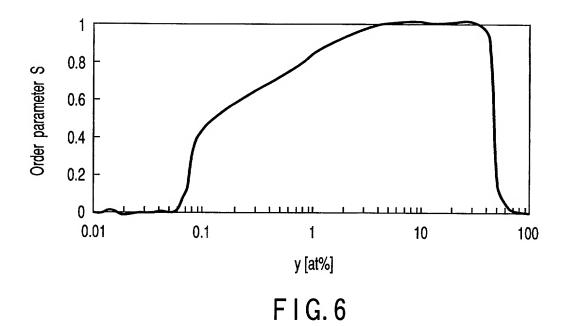


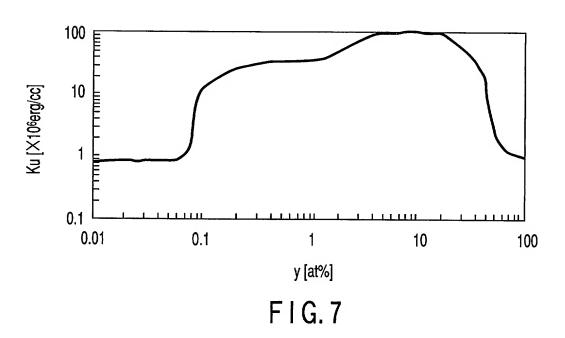


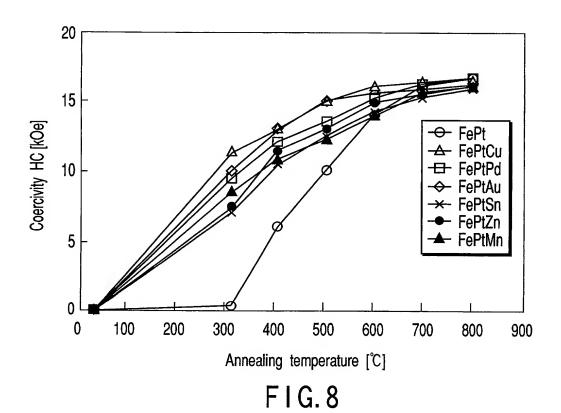


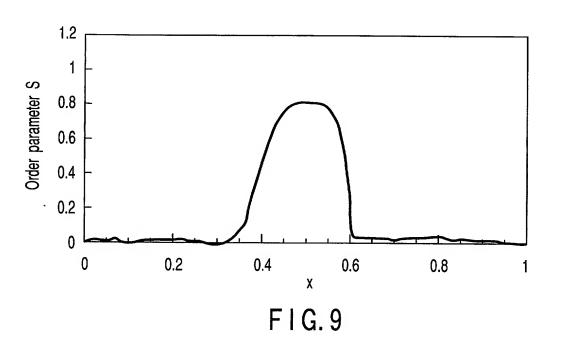


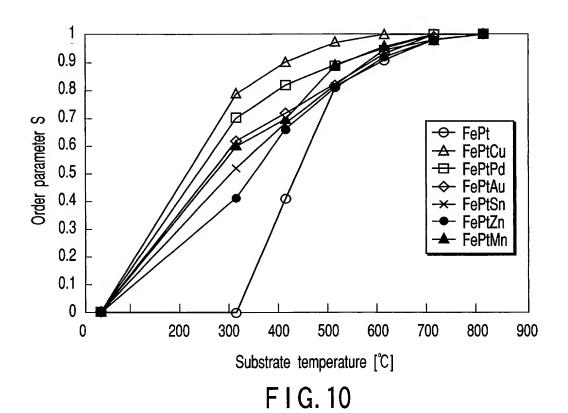
F I G. 5

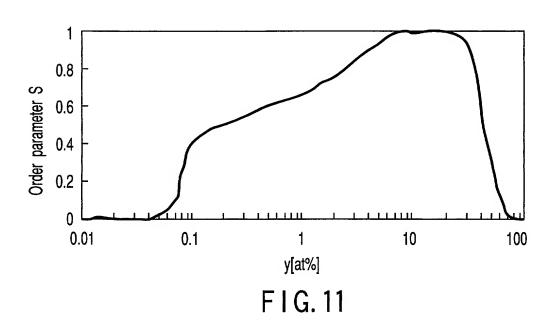


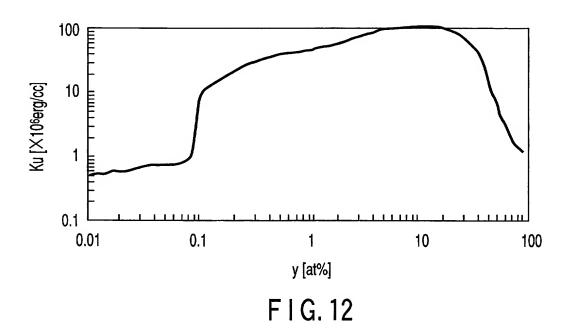


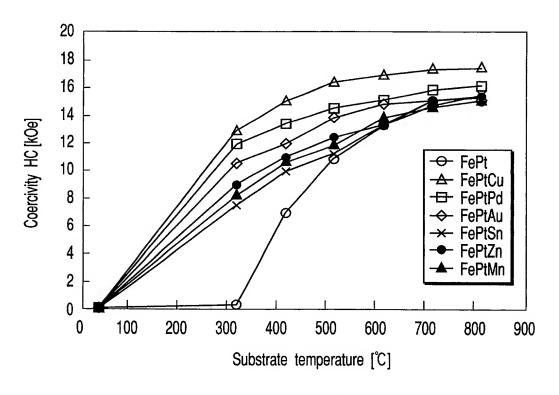










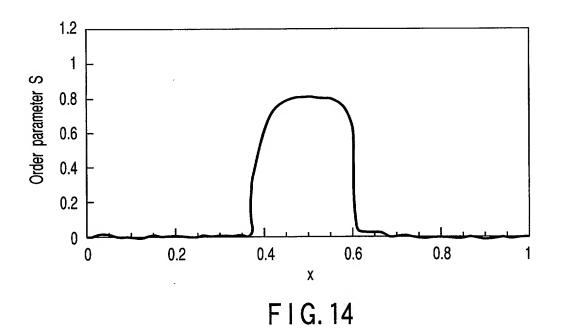


F I G. 13

LOCULLO CLICI

OBLON, SPIVAK, ET AL DOCKET #: 218347US0SRD INV: Tomoyuki MAEDA, et al.

SHEET \_7\_ OF\_16\_



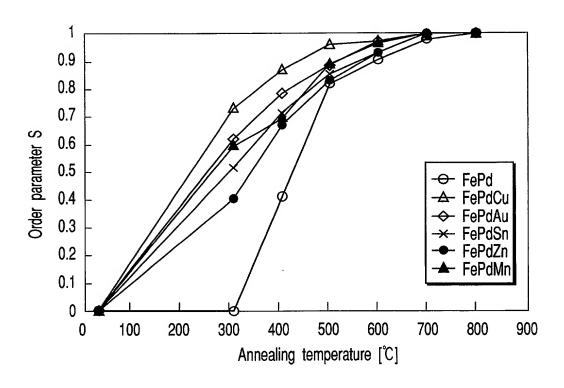
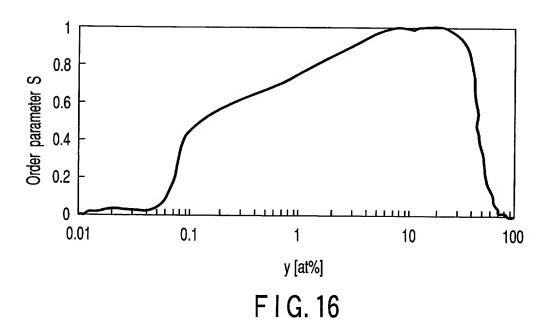
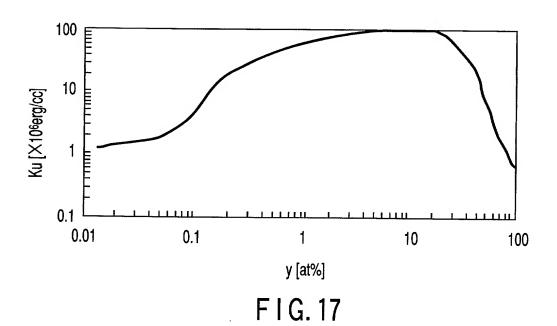


FIG. 15





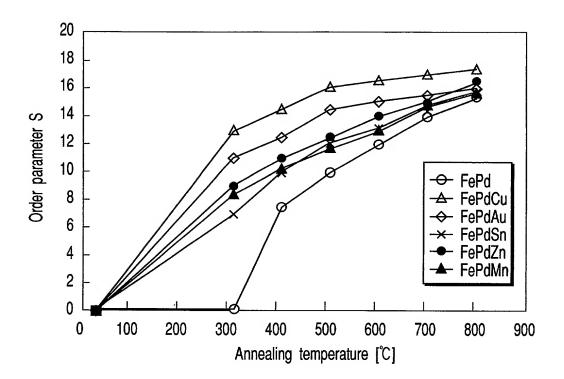
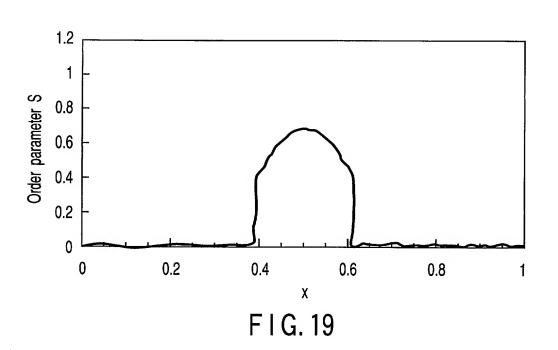
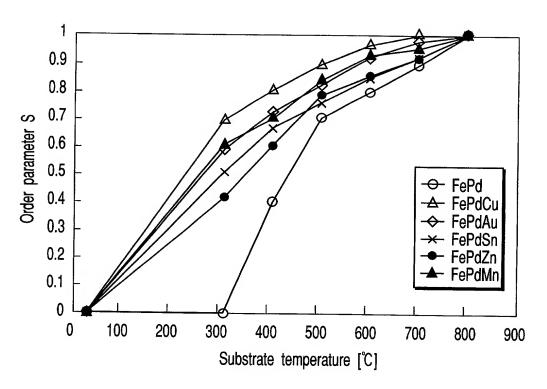


FIG. 18





F I G. 20

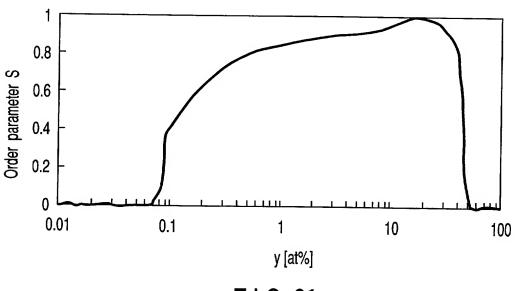
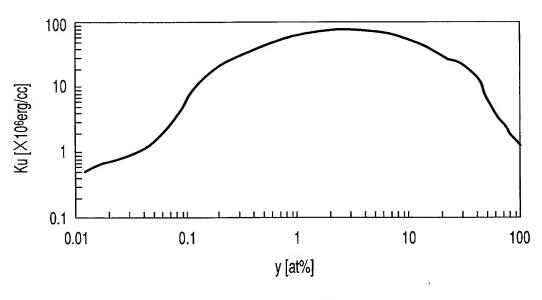


FIG. 21



F I G. 22

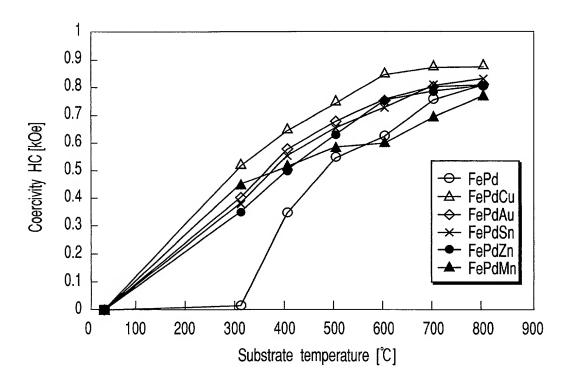
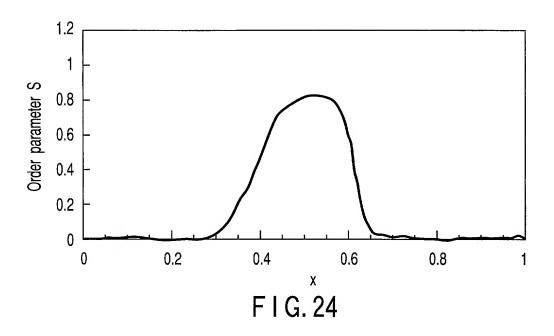
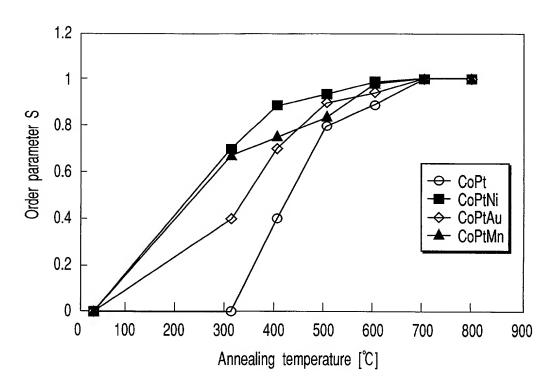


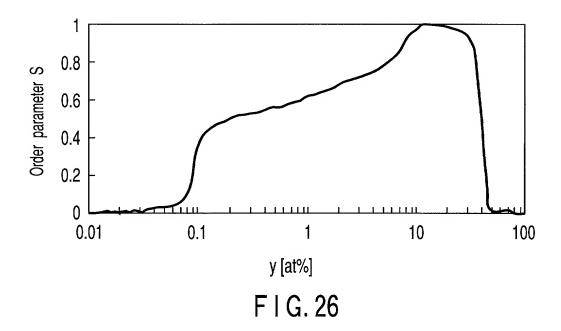
FIG. 23

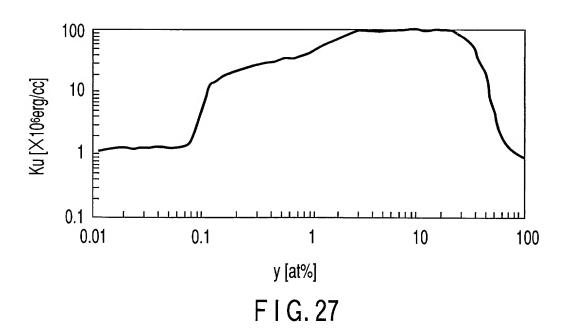
OBLON, SPIVAK, ET AL DOCKET #: 218347US0SRD INV: Tomoyuki MAEDA, et al. SHEET \_12\_ OF\_16.





F I G. 25





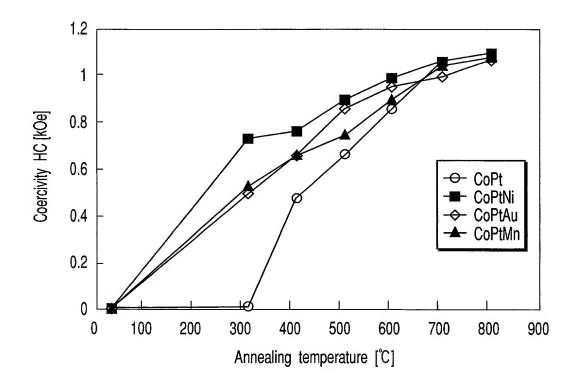
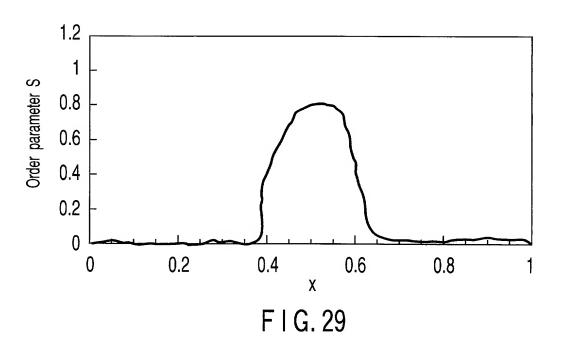


FIG. 28



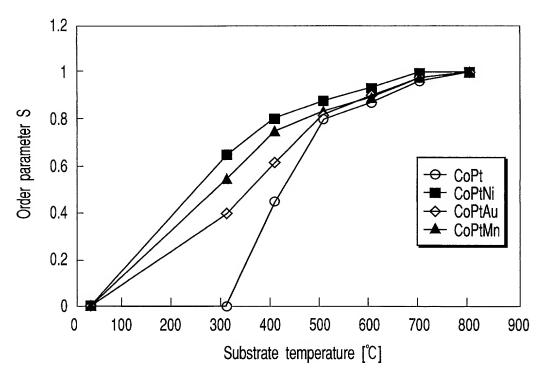


FIG. 30

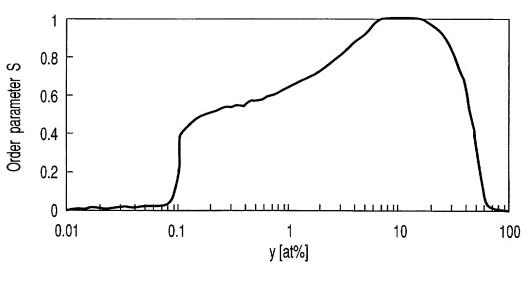
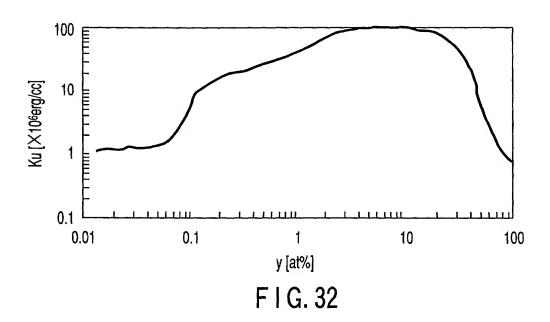


FIG. 31



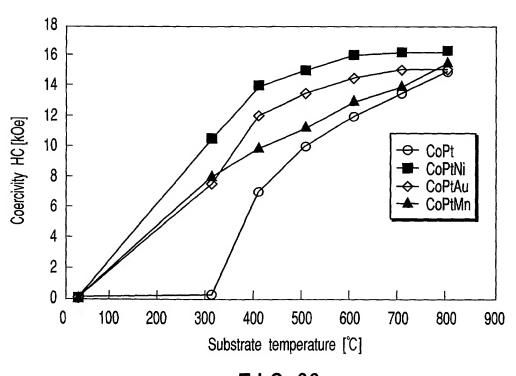


FIG. 33